

บทที่ 2

ทฤษฎีพื้นฐานของ Double Heterojunction Bipolar Transistor

จากการที่ไบโพลาร์ทรานซิสเตอร์ชนิด Double Heterojunction Bipolar Transistor (DHBT) มีข้อได้เปรียบหลายประการเมื่อเปรียบเทียบกับชนิด Single Heterojunction Bipolar Transistor (SHBT) ดังที่ได้กล่าวข้างต้นในบทที่ 1 Baibe et al จึงได้เสนอทฤษฎีพื้นฐานที่เกี่ยวข้องกับไบโพลาร์ทรานซิสเตอร์ชนิดนี้ [3] โดยกล่าวถึงลักษณะสมบัติกระแสแรงดันและอัตราขยายกระแส ทั้งกรณีหัวต่อแบบชั้นและแบบลาด โดยชี้ให้เห็นว่าความลาดชันของหัวต่อส่งผลต่ออิทธิพลของ "Spike" ซึ่งเกิดจากความไม่ต่อเนื่องของแถบพลังงานต้องห้าม นอกจากนี้อิทธิพลของ "Spike" ยังถูกควบคุมโดยปริมาณอลูมิเนียม ปริมาณสารเจือ และแรงดันไบแอส

2.1 ทฤษฎีพื้นฐานทางด้านกระแสตรง

เพื่อศึกษาทฤษฎีพื้นฐานของสิ่งประดิษฐ์ เราควรทบทวนสมการที่สำคัญๆ โดยเริ่มต้นจากสมการทั่วไปของกระแสอิเล็กตรอนและกระแสโฮลในสารกึ่งตัวนำ ดังสมการ (2-1) และ (2-2) ตามลำดับ

$$\frac{J_n}{qD_n n} = \left[-\frac{1}{U_T} \times \frac{d(V + \chi)}{dW} \right] + \frac{d(\ln(n/N_c))}{dW} \quad (2-1)$$

$$\frac{J_p}{qD_p p} = \left[-\frac{1}{U_T} \times \frac{d(V + \chi)}{dW} \right] - \frac{d(\ln(p/N_v))}{dW} - \left[\frac{1}{qU_T} \times \frac{dE_g}{dW} \right] \quad (2-2)$$

โดย V คือ ศักคาไฟฟ้า

χ คืออิเล็กตรอนแอฟฟินิตี

J_n คือ ความหนาแน่นกระแสอิเล็กตรอน

J_p คือ ความหนาแน่นกระแสโฮล

E_g คือ ความกว้างของช่องว่างพลังงาน

W คือ ระยะทางในแนวตั้งฉากกับหัวต่อ

n คือ ความหนาแน่นของอิเล็กตรอน

p คือ ความหนาแน่นของโฮล

D_n คือ สัมประสิทธิ์การแพร่ซึมของอิเล็กตรอน

D_p คือ สัมประสิทธิ์การแพร่ซึมของโฮล

N_c คือ ความหนาแน่นประสิทธิผลของสถานะในแถบนำไฟฟ้า

N_v คือ ความหนาแน่นประสิทธิผลของสถานะในแถบวาเลนซ์

U_T คือ Thermal Voltage

นอกจากเทอมอันเกิดเนื่องจากผลของสนามไฟฟ้า และความลาดเอียงของพาหะ (กระแสพัดพาและกระแสแพร่ซึม) สมการ (2-1) และ (2-2) ยังแสดงการเกิดกระแส อันเนื่องมาจากการแปรค่าของช่องว่างแถบพลังงาน ค่าอิเล็กตรอนแอฟฟินิตี และค่าความหนาแน่นประสิทธิผลของสถานะในแถบนำไฟฟ้า และแถบเวเลนซ์ กับระยะทางด้วย

นอกจากนี้ยังมีสมการอีก 2 สมการซึ่งใช้อธิบายการไหลของพาหะในสิ่งประดิษฐ์ กล่าวคือ “Continuity Equation” และสมการของ “Gauss” ซึ่งแสดงความสัมพันธ์ระหว่างความลาดเอียงของสนามไฟฟ้ากับประจุไฟฟ้า ดังสมการ (2-3) , (2-4) , (2-5) และ (2-6) ตามลำดับ

$$\frac{1}{q} \frac{dJ_n}{dW} - U = 0 \tag{2-3}$$

$$\frac{1}{q} \frac{dJ_p}{dW} + U = 0 \tag{2-4}$$

$$E = - \frac{dV}{dW} \tag{2-5}$$

$$\frac{d^2V}{dW^2} = - \frac{q}{\epsilon} (p - n + N_D - N_A) - \frac{1}{\epsilon} \frac{dV}{dW} \frac{dE}{dW} \tag{2-6}$$

โดย ϵ คือ ค่า Permittivity ของสารกึ่งตัวนำ

N_D และ N_A คือความหนาแน่นของอะตอมผู้ให้และผู้รับ

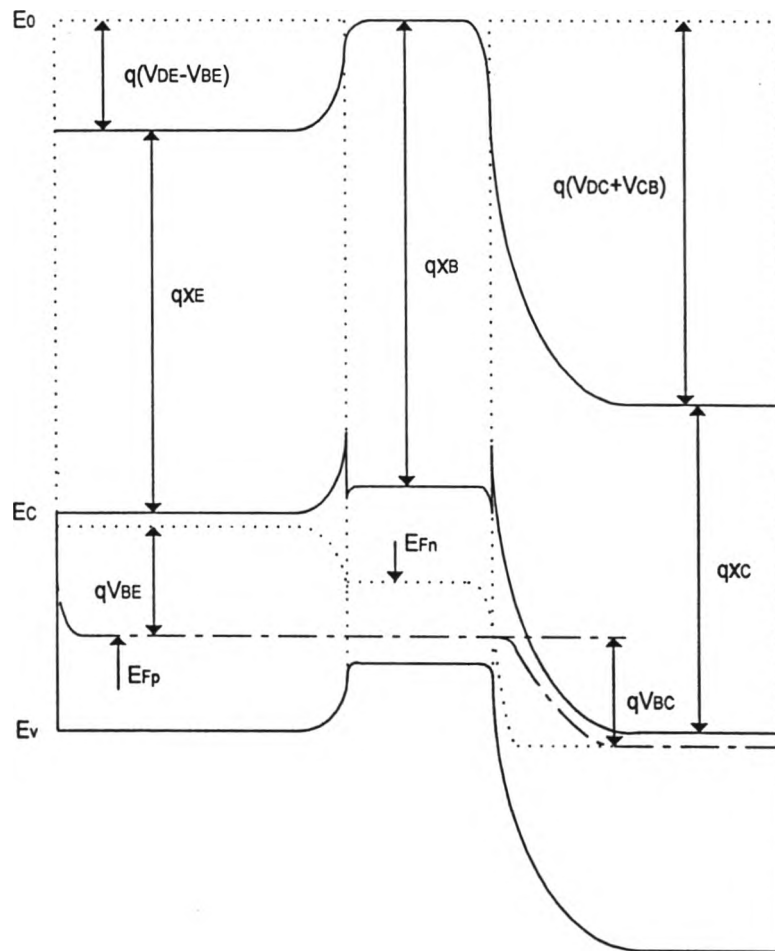
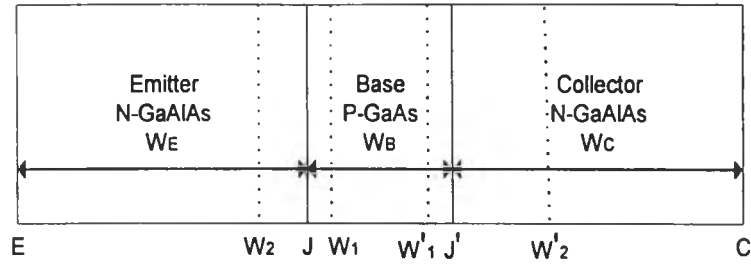
U คือ อัตราการรวมตัวพาหะ

สำหรับโครงสร้างของทรานซิสเตอร์ชนิดหัวต่อต่างชนิดคู่ของ GaAlAs(N) และ GaAs(P) รวมทั้งภาพของช่องว่างแถบพลังงานบริเวณหัวต่อ แสดงไว้ในรูปที่ 2.1 จะเห็นว่าที่ขอบของแถบนำไฟฟ้า จะปรากฏ "Spike" 2 จุดที่หัวต่ออิมิตเตอร์-เบส และ หัวต่อคอลเล็กเตอร์-เบส ซึ่งจะมีบทบาทต่อพฤติกรรมของทรานซิสเตอร์ ทั้งลักษณะสมบัติ (J_C, V_{BE}) และ อัตราขยายกระแส

2.1.1 ลักษณะสมบัติ (J_C, V_{BE})

จากความสัมพันธ์ระหว่าง n_i (Intrinsic Carrier Concentration) กับระยะทาง ตามสมการ

$$n_i^2 = N_C N_V \exp(-E_g / kT) \tag{2-7}$$



รูปที่ 2.1 แผนผังแถบพลังงานต้องห้ามของไบโพลาร์ทรานซิสเตอร์ชนิดหัวต่อต่างชนิดกันของ GaAlAs(N)/GaAs(P)/GaAlAs(N) เมื่อถูกไบแอสใช้งานในโหมดปกติ

และโดยสมการ (2-1) ลบด้วยสมการ (2-2) จะได้

$$(p/n_i^2)(J_n/qD_n) - (n/n_i^2)(J_p/qD_p) = \frac{d}{dW}(pn/n_i^2) \quad (2-8)$$

อินทิเกรต สมการ (2-8) จาก W_2 ถึง C จะได้สมการ (2-9)

$$\int_{W_2}^C \frac{n}{n_i^2} \frac{J_p}{qD_p} dW - \int_{W_2}^C \frac{p}{n_i^2} \frac{J_n}{qD_n} dW = \left(\frac{pn}{n_i^2} \right)_{W_2} - \left(\frac{pn}{n_i^2} \right)_C \quad (2-9)$$

พิจารณาเทอมแรก สามารถแยกออกเป็น 3 ส่วน

$$\int_{W_2}^C \frac{n}{n_i^2} \frac{J_p}{qD_p} dW = \int_{W_2}^J \frac{n}{n_i^2} \frac{J_p}{qD_p} dW + \int_J^{J'} \frac{n}{n_i^2} \frac{J_p}{qD_p} dW + \int_{J'}^C \frac{n}{n_i^2} \frac{J_p}{qD_p} dW \quad (2-10)$$

ในย่านแปรเปลี่ยนด้านอิมิตเตอร์ (ระหว่าง W_2 และ J) กระแสโวล ที่ฉีดจากเบส เข้าสู่อิมิตเตอร์ สามารถละเลยได้ เนื่องจากประสิทธิภาพในการฉีดที่สูงของหัวต่อต่างชนิด

ในย่านคอลเล็กเตอร์ (ระหว่าง J' และ C) กระแสโวล ที่ฉีดจากเบสเข้าสู่คอลเล็กเตอร์ สามารถละเลยได้ เนื่องจากหัวต่อคอลเล็กเตอร์-เบส ถูกไบแอสกลับทาง ดังนั้น

$$\int_{W_2}^C \frac{n}{n_i^2} \frac{J_p}{qD_p} dW = \int_J^{J'} \frac{n}{n_i^2} \frac{J_p}{qD_p} dW \quad (2-11)$$

ทำนองเดียวกันสำหรับกระแสอิเล็กตรอน

$$\int_{W_2}^C \frac{p}{n_i^2} \frac{J_n}{qD_n} dW = \int_{W_2}^J \frac{p}{n_i^2} \frac{J_n}{qD_n} dW + \int_J^{J'} \frac{p}{n_i^2} \frac{J_n}{qD_n} dW + \int_{J'}^C \frac{p}{n_i^2} \frac{J_n}{qD_n} dW \quad (2-12)$$

ในย่านแปรเปลี่ยน (W_2 ถึง J) และในย่านคอลเล็กเตอร์ J' ถึง C J_n เป็นค่าความหนาแน่นกระแสอิเล็กตรอนซึ่งเป็นพาหะข้างมาก ไม่สามารถละเลยได้

ในขณะที่ย่านเบส การเจือสารสูง $p \gg n$ และ J_n เป็นกระแสที่ถูกฉีดจากอิมิตเตอร์ และ $J_n > J_p$ ดังนั้น

$$\int_J^{J'} \frac{n}{n_i^2} \frac{J_p}{qD_p} dW \ll \int_J^{J'} \frac{p}{n_i^2} \frac{J_n}{qD_n} dW \quad (2-13)$$

เมื่อพิจารณา (2-11) และ (2-13) และทราบว่า $pn = n_i^2$ ที่ผิวสัมผัสโอห์มมิก C สมการ (2-9) จะง่ายขึ้น

$$\int_C^{w_2} \frac{p}{n_i^2} \frac{J_n}{qD_n} dW = \left(\frac{pn}{n_i^2} \right)_{w_2} - 1 \quad (2-14)$$

พบว่าจากการพิจารณาหัวต่อต่างชนิดเฉพาะที่หัวต่ออิมิตเตอร์-เบส [1] โดยตรง จะได้ว่า

$$\left(\frac{pn}{n_i^2} \right)_{w_2} = \exp\left(\frac{V_{BE}}{U_T} \right) \quad (2-15)$$

ถ้าการรวมตัวของพาหะถูกกละเลข J_n จะคงที่ไม่ขึ้นกับระยะทาง W ดังนั้น

$$J_n = \frac{\exp\left(\frac{V_{BE}}{U_T}\right) - 1}{\int_C^{w_2} \frac{p}{qn_i^2 D_n} dW} \quad (2-16)$$

ในกรณีที่ $V_{BE} \gg U_T$ จะได้

$$J_n = \frac{\exp\left(\frac{V_{BE}}{U_T}\right)}{\int_C^{w_2} \frac{p}{qn_i^2 D_n} dW} \quad (2-17)$$

ถ้าเราพิจารณา Integral term ด้านล่างของสมการระหว่างผิวสัมผัส C กับจุด W_2 ขอบของย่านแปรเปลี่ยนด้านอิมิตเตอร์ จะได้

$$\int_C^{w_2} \frac{p}{qn_i^2 D_n} dW = \int_C^{w_2'} \frac{p}{qn_i^2 D_{nC}} dW + \int_{w_2'}^{j'} \frac{p}{qn_i^2 D_{nC}} dW + \int_{j'}^{w_1'} \frac{p}{qn_{iB}^2 D_{nB}} dW + \int_{w_1'}^{w_2} \frac{p}{qn_{iE}^2 D_{nE}} dW \quad (2-18)$$

ในย่านเบส ระหว่าง J ถึง J' ความหนาแน่นโฮล ในย่านแปรเปลี่ยนระหว่าง J' ถึง W_1' ส่วนหนึ่ง และ ระหว่าง W_1' ถึง J อีกส่วนหนึ่งจะน้อยมากเมื่อเปรียบเทียบกับย่าน quasi-neutral ระหว่าง W_1' ถึง W_1 ซึ่งจะมีค่า $p(W)$ เท่ากับความหนาแน่นของสารเจือผู้รับในเบส ($N_{AB}(W)$) รวมกับโฮลส่วนเกินเพื่อรักษาสภาพความเป็นกลาง $\hat{p}(W) = \hat{n}(W)$ โดยที่ $\hat{n}(W)$ คือความหนาแน่นของอิเล็กตรอนส่วนเกินในย่านเบส ดังนั้นเราสามารถเขียนต่อไปว่า

$$\int_{j'}^{w_1'} \frac{p}{qn_{iB}^2 D_{nB}} dW = \int_{w_1'}^{w_1} \frac{p}{qn_{iB}^2 D_{nB}} dW = \pi_B + \pi_{SB} \quad (2-19)$$

$$\text{โดย } \pi_B = \int_{w_1'}^{w_1} \frac{N_{AB}}{qn_{iB}^2 D_{nB}} dW = \frac{N_{AB} W_B}{qn_{iB}^2 D_{nB}} \quad (2-20)$$

$$\pi_{SB} = \int_{W_1'}^{W_1} \frac{\hat{p}(W)}{qn_{iB}^2 D_{nB}} dW = \int_{W_1'}^{W_1} \frac{\hat{n}(W)}{qn_{iB}^2 D_{nE}} dW \quad (2-21)$$

ผลจากการคำนวณโดยใช้สมการ (2-1) ถึง (2-6) กับหัวต่อต่างชนิด GaAs (p)/Ga_{0.4}Al_{0.6}As (n) ตามรูป (2-2) ทำให้สามารถสรุปได้ว่าในย่านแปรเปลี่ยนระหว่าง J และ W_2 เทอม $\frac{P}{n_{iE}^2}$ สามารถมีค่าที่สูงเนื่องจาก "Spike" ที่ขอบของแถบนำไฟฟ้า จึงให้

$$\pi_{TE} = \int_J^{W_2} \frac{P}{qn_{iE}^2 D_{nE}} dW \quad (2-22)$$

ซึ่งใช้ในการศึกษาบทบาทของ "Spike" บริเวณนี้ได้ ในทำนองเดียวกัน เทอม $\frac{P}{n_{iC}^2}$ ในย่านแปรเปลี่ยนระหว่าง W_2' และ J' ก็มีบทบาทในลักษณะเดียวกัน จึงให้

$$\pi_{TC} = \int_{W_2'}^{J'} \frac{P}{qn_{iC}^2 D_{nC}} dW \quad (2-23)$$

ซึ่งจะแสดงบทบาทของ Spike ของบริเวณนี้เช่นกัน

สำหรับในย่าน quasi-neutral ของคอลเล็กเตอร์ จาก C ถึง W_2' $p(W)$ แสดงถึงความหนาแน่นของพาหะข้างน้อย ซึ่งจะมีค่าน้อยเมื่อพิจารณาว่า หัวต่อคอลเล็กเตอร์-เบส ในสภาวะไบแอสกลับทาง ดังนั้นสามารถละเลยเทอม $\int_C^{W_2'} \frac{P}{qn_{iC}^2 D_{nC}} dW$ เมื่อเปรียบเทียบกับ $\pi_B + \pi_{TC}$

ถ้าเราละเลยการรวมตัวในย่านเบส และหัวต่อคอลเล็กเตอร์-เบส อยู่ในสภาวะไบแอสกลับทาง กระแสอิเล็กตรอนก็คือ กระแสคอลเล็กเตอร์ ดังนั้น ความสัมพันธ์ (J_C, V_{BE}) ของทรานซิสเตอร์ หัวต่อต่างชนิดจะเขียนได้เป็น

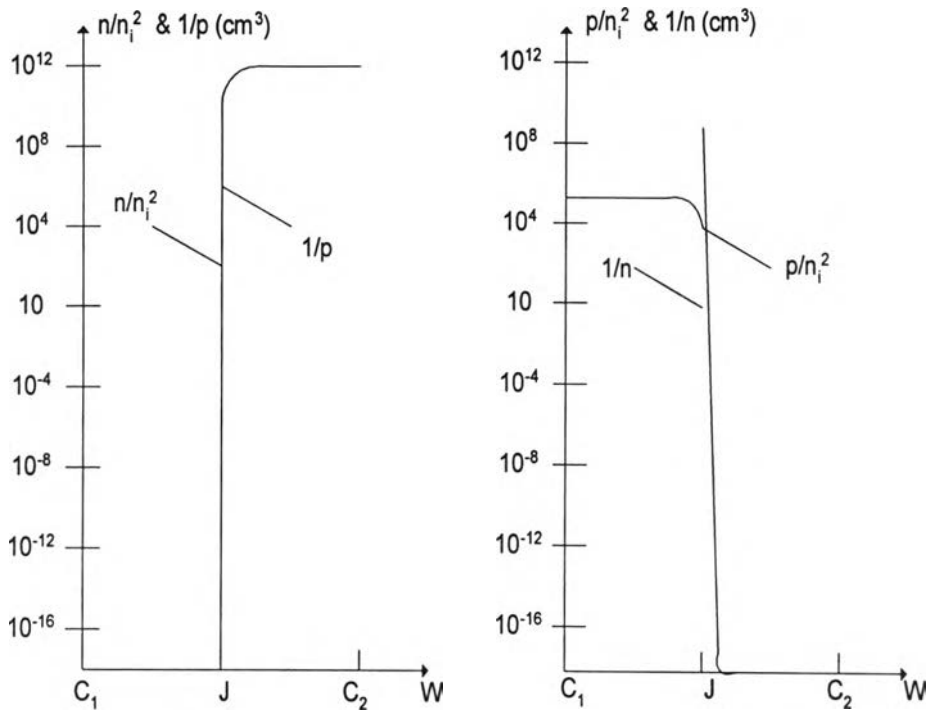
$$J_C = J_n = \frac{\exp(V_{BE}/U_T)}{\pi_B + \pi_{SB} + \pi_{TE} + \pi_{TC}} \quad (2-24)$$

หรือ

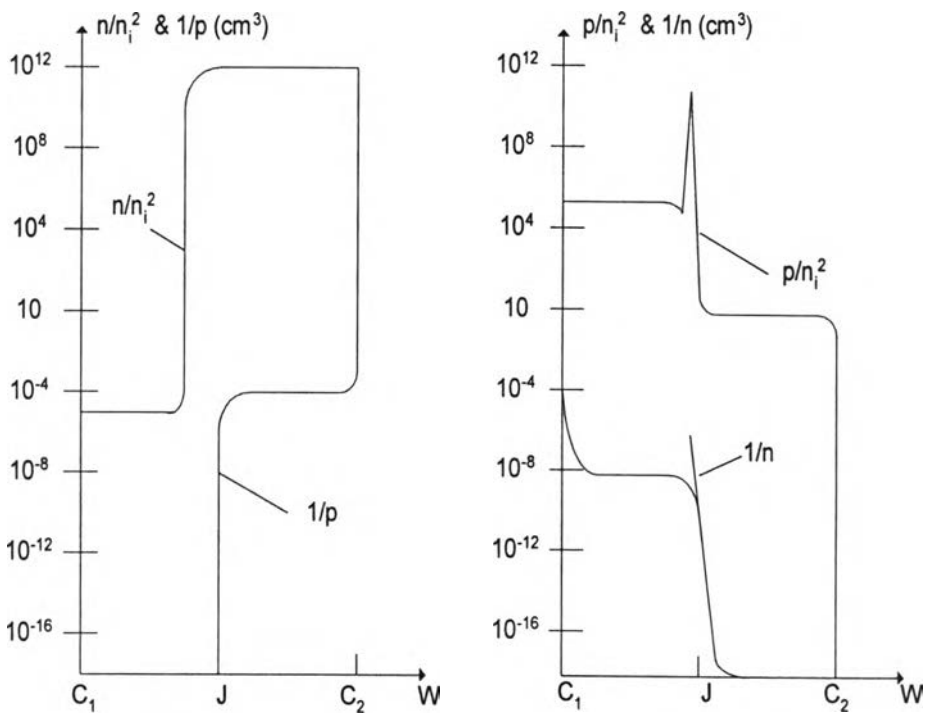
$$\frac{1}{J_C} = \frac{1}{J_1} + \frac{1}{J_2} + \frac{1}{J_3} + \frac{1}{J_4} \quad (2-25)$$

$$\text{โดยที่ } J_1 = \frac{1}{\pi_B} \exp(V_{BE}/U_T) \quad , \quad \pi_B = \frac{N_{AB} W_B}{qn_{iB}^2 D_{nB}} \quad (2-26)$$

$$J_2 = \frac{1}{\pi_{SB}} \exp(V_{BE}/U_T) \quad , \quad \pi_{SB} = \int_{W_1'}^{W_1} \frac{\hat{n}}{qn_{iB}^2 D_{nB}} dW \quad (2-27)$$



a) $V_a=0$ $J_n=0$



b) $V_a=1V$ $J_n=5.5 \cdot 10^{-5} A/cm^2$

รูปที่ 2.2 ค่าของ $\frac{1}{n}$, $\frac{1}{p}$, $\frac{n}{n_i^2}$ และ $\frac{p}{n_i^2}$ บริเวณหัวต่อต่างชนิดของ GaAs(p)/Ga_{0.4}Al_{0.6}As(n) [1]

$$J_3 = \frac{1}{\pi_{TE}} \exp(V_{BE}/U_T) \quad , \quad \pi_{TE} = \int_J^{W_2} \frac{p}{qn_{iE}^2 D_{nE}} dW \quad (2-28)$$

$$J_4 = \frac{1}{\pi_{TC}} \exp(V_{BE}/U_T) \quad , \quad \pi_{TC} = \int_{W_2'}^{J'} \frac{p}{qn_{iC}^2 D_{nC}} dW \quad (2-29)$$

เทอมแรก $1/J_1 = \pi_B \exp(-V_{BE}/U_T)$ แสดงถึงกฎของกระแส-ความต่างศักย์ที่เปลี่ยนแปลง โดยคิดว่าหัวต่อเป็นแบบอุดมคติ ในเทอมที่สอง $1/J_2 = \pi_{SB} \exp(-V_{BE}/U_T)$ แสดงถึงผลที่เกิดจากการฉีดพาหะที่สูงในเบส ส่วนในเทอมที่สาม และสี่ $1/J_3 = \pi_{TE} \exp(-V_{BE}/U_T)$, $1/J_4 = \pi_{TC} \exp(-V_{BE}/U_T)$ แสดงถึงอิทธิพลของสไปค์ (Spike) ที่อิมิตเตอร์ และที่คอลเล็กเตอร์ ที่มีผลต่อการขนถ่ายพาหะ ตามลำดับ ตามสมการ (2-25) จะเห็นว่าค่ากระแสที่ต่ำที่สุดระหว่าง J_1 , J_2 , J_3 และ J_4 จะเป็นตัวกำหนดค่ากระแส J_C

เพื่อพิจารณาผลกระทบในย่านที่มี "Spike" เราต้องพิจารณาค่าของ π_{TE} และ π_{TC} ในเทอมของแรงดัน V_{BE} ดังนั้นจึงจำเป็นต้องทราบการกระจายโวลต์ $p(W)$ ในย่านแปรเปลี่ยนของอิมิตเตอร์ และ คอลเล็กเตอร์ ซึ่งขึ้นอยู่กับรูปแบบของ "Spike" และความมกน้อยของความลาดชันของหัวต่อต่างชนิด GaAlAs/GaAs ทั้งที่อิมิตเตอร์-เบส และของคอลเล็กเตอร์-เบส เราจึงแบ่งการวิเคราะห์ออกเป็น 2 กรณี คือ หัวต่อแบบชันและหัวต่อแบบลาด

ก) กรณีหัวต่อต่างชนิดแบบชัน

เราสามารถหาค่า $p(W)$ ในเทอมของศักดาไฟฟ้า $V(W)$ โดยการอินทิเกรตความสัมพันธ์ (2-1) ระหว่างจุดสัมผัสกับเบส (J) ถึงค่า W ใดๆ ที่อยู่ระหว่าง J กับ W_2 ในกรณีหัวต่ออิมิตเตอร์-เบส และระหว่างจุดสัมผัสกับเบส (J') ถึงค่า W ใดๆ ที่อยู่ระหว่าง J' กับ W_2' สำหรับหัวต่อคอลเล็กเตอร์-เบส ดังนั้น

สำหรับหัวต่ออิมิตเตอร์-เบส

$$p(W) = \frac{n_{iE}^2}{N_{DE}} \exp\left(\frac{k_E V_{DE}}{U_T}\right) \exp\left(\frac{k_{BE} V_{BE}}{U_T}\right) \exp\left(-\frac{V(W)}{U_T}\right) \quad (2-30)$$

$$\text{เมื่อ} \quad V_{DE} = \chi_B - \chi_E + U_T \ln\left(\frac{N_{CB}}{N_{CE}} \times \frac{N_{AB} \cdot N_{DE}}{n_{iB}^2}\right) \quad (2-31)$$

และสำหรับหัวต่อคอลเล็กเตอร์-เบส

$$p(W) = \frac{n_{iC}^2}{N_{DC}} \exp\left(\frac{k_C V_{DC}}{U_T}\right) \exp\left(\frac{k_{BC} V_{BC}}{U_T}\right) \exp\left(-\frac{V(W)}{U_T}\right) \quad (2-32)$$

$$\text{เมื่อ } V_{DC} = \chi_B - \chi_C + U_T \ln \left(\frac{N_{CB}}{N_{CC}} \times \frac{N_{AB} \cdot N_{DC}}{n_{iB}^2} \right) \quad (2-33)$$

$$\begin{aligned} \text{โดยที่ } k_E &= \frac{\varepsilon_B N_{AB}}{\varepsilon_B N_{AB} + \varepsilon_E N_{DE}} & k_C &= \frac{\varepsilon_B N_{AB}}{\varepsilon_B N_{AB} + \varepsilon_C N_{DC}} \\ k_{BE} &= \frac{\varepsilon_E N_{DE}}{\varepsilon_B N_{AB} + \varepsilon_E N_{DE}} & k_{BC} &= \frac{\varepsilon_C N_{DC}}{\varepsilon_B N_{AB} + \varepsilon_C N_{DC}} \end{aligned} \quad (2-34)$$

สมการ J_3 และ J_4 จึงเขียนได้เป็น

$$\frac{1}{J_3} = \frac{\exp(-V_{BE}/U_T) \exp\left(\frac{k_E V_{DE}}{U_T}\right) \exp\left(\frac{k_{BE} V_{BE}}{U_T}\right) \int_J^{W_2'} \exp\left(-\frac{V(W)}{U_T}\right) dW}{q D_{nE} N_{DE}} \quad (2-35)$$

และ

$$\frac{1}{J_4} = \frac{\exp(-V_{BE}/U_T) \exp\left(\frac{k_C V_{DC}}{U_T}\right) \exp\left(\frac{k_{BC} V_{BC}}{U_T}\right) \int_{W_2'}^J \exp\left(-\frac{V(W)}{U_T}\right) dW}{q D_{nC} N_{DC}} \quad (2-36)$$

ถ้าเราพิจารณาอนุโลมให้การเปลี่ยนแปลงศักดาไฟฟ้าในบริเวณหัวต่อ เป็นเชิงเส้น ผ่านจุดกำเนิดแกน (W,V) ซึ่งอยู่บนระนาบหัวต่อเชิงผลึก J และ J' ซึ่งทำให้เทอม $\frac{p}{n_{iE}^2}$ และ $\frac{p}{n_{iC}^2}$ มีค่าสูงสุด จะได้

$$V(W) = \frac{-2W}{W_2'} (V_{DC} - V_{BC}) k_C \quad \text{ระหว่าง } W_2' \text{ และ } J' \quad (2-37)$$

และ

$$V(W) = \frac{2W}{W_2} (V_{DE} - V_{BE}) k_E \quad \text{ระหว่าง } J \text{ และ } W_2 \quad (2-38)$$

ด้วยเงื่อนไขนี้ J_3 และ J_4 จะอยู่ในรูปสมการ

$$J_3 = \left[\frac{D_{nE} (q N_{DE})^{3/2} \sqrt{2(V_{DE} - V_{BE})}}{U_T \sqrt{\varepsilon_E} n_E} \right] \exp\left(-\frac{V_{DE}}{n_E U_T}\right) \times \exp\left(\frac{V_{BE}}{n_E U_T}\right) \quad (2-39)$$

$$\text{โดย } n_E = 1 + \frac{\varepsilon_E N_{DE}}{\varepsilon_B N_{AB}} \quad (2-40)$$

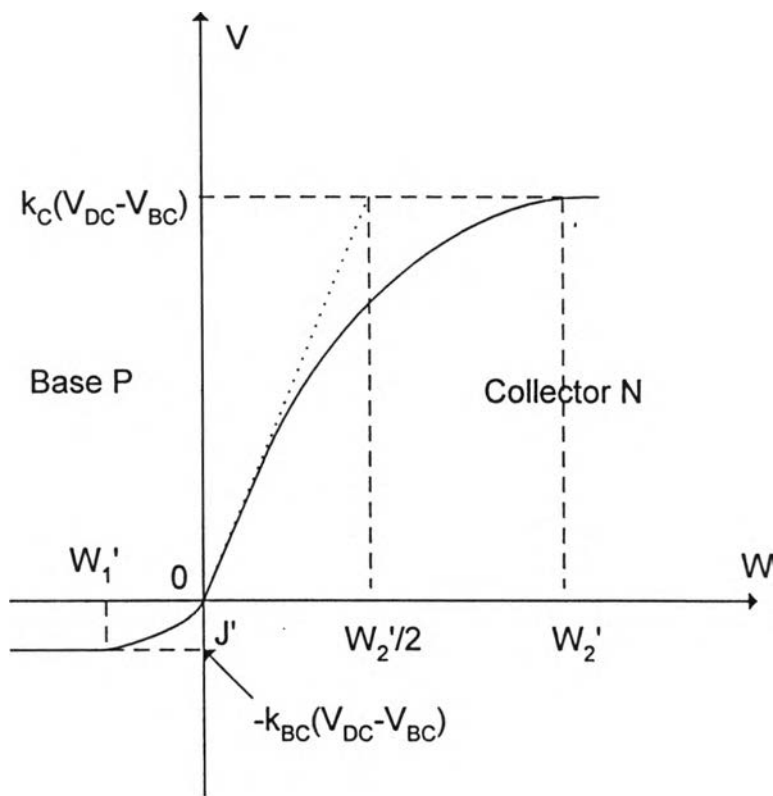
$$J_4 = \left[\frac{D_{nC} (q N_{DC})^{3/2} \sqrt{2(V_{DC} - V_{BC})}}{U_T \sqrt{\varepsilon_C} n_C} \right] \exp\left(-\frac{V_{DC}}{n_C U_T}\right) \times \exp\left(\frac{V_{BE}}{U_T}\right) \times \exp\left(\frac{1-n_C}{n_C} \cdot \frac{V_{BC}}{U_T}\right)$$

(2-41)

$$\text{โดย } n_c = 1 + \frac{\epsilon_C N_{DC}}{\epsilon_B N_{AB}} \quad (2-42)$$

จุดสำคัญที่ต้องกล่าวถึง ก็คือ ลักษณะสมบัติกระแสคอลเล็กเตอร์ ส่วนที่ควบคุมโดย "Spike" ของหัวต่ออิมิตเตอร์ แสดงโดยความสัมพันธ์ exponential $J_3 = J_{S3} \exp\left(\frac{V_{BE}}{n_E U_T}\right)$ ซึ่ง n_E เป็นแฟกเตอร์อุดมคติ และ J_{S3} เป็นค่ากระแสอิ่มตัวซึ่งในทางปฏิบัติจะไม่ขึ้นกับแรงดันขั้ว V_{BE}

ในทางตรงกันข้าม ลักษณะสมบัติของกระแสคอลเล็กเตอร์ ส่วนที่ควบคุมโดย "Spike" ของหัวต่อคอลเล็กเตอร์ อธิบายด้วย $J_4 = J_{S4} \exp\left(\frac{V_{BE}}{U_T}\right)$ โดยที่ J_{S4} จะขึ้นกับแรงดันขั้ว V_{BC}



รูปที่ 2.3 สักคาไฟฟ้าบริเวณหัวต่อ

ข) กรณีหัวต่อต่างชนิดแบบลาด

ในกรณีนี้บริเวณใกล้ๆผิวสัมผัสเชิงผลึก J และ J' ค่าความหนาแน่น n_i มีการเปลี่ยนแปลงอย่างต่อเนื่อง การคำนวณทอม π_{TE} และ π_{TC} หรือค่ากระแส J_3 และ J_4 จึงต้องพิจารณาใหม่ แต่เพื่อให้การวิเคราะห์ห้ง่ายที่สุด จึงตั้งสมมุติฐาน ดังต่อไปนี้

- ส่วนผสมของสารประกอบ GaAlAs ให้มีการเปลี่ยนแปลงเฉพาะด้านอิมิตเตอร์และคอลเล็กเตอร์ (ด้าน N) และครอบคลุมระยะทาง L_{gE} และ L_{gC} และน้อยกว่าระยะ W_2 และ W_2' ของย่านแปรเปลี่ยนของแต่ละหัวต่อตามลำดับ (รูปที่ 2.1 และ 2.4)

- สัดส่วนของโมเลียม x_{AlE} และ x_{AlC} แปรผันแบบเชิงเส้นระหว่าง 0 และ L_{gE} สำหรับอิมิตเตอร์ และระหว่าง 0 กับ L_{gC} สำหรับคอลเล็กเตอร์ นั่นก็หมายความว่าค่าอิล็กตรอนแอฟฟินิตี χ_E และ χ_C และช่องว่างแถบพลังงาน E_{gE} และ E_{gC} มีความสัมพันธ์แบบเชิงเส้นกับ W ด้วย

เราสามารถละเลยผลกระทบที่เป็นไปได้ต่อค่า N_C, N_V และ ϵ ในช่วง 0 ถึง L_{gE} และ 0 ถึง L_{gC} สำหรับ อิมิตเตอร์ และคอลเล็กเตอร์ ตามลำดับ เมื่อเปรียบเทียบกับค่า $\Delta\chi_E$ และ $\Delta\chi_C$ หรือ ΔE_{gE} และ ΔE_{gC} ที่เกิดขึ้น

จากสมการ (2-29) ของกระแส J_4 เขียนใหม่เป็น

$$J_4 = \frac{\exp\left(\frac{V_{BE}}{U_T}\right)}{- \int_{J'}^{W_2'} \frac{p(W)}{qn_{iC}^2 D_{nC}} dW} \quad (2-43)$$

เราสามารถคำนวณการกระจายของโฮล $p(W)$ ดังเช่นกรณีของหัวต่อต่างชนิดแบบชันโดยการอินทิเกรต สมการ (2-1) ระหว่างจุดที่สัมผัสกับเบสกับจุด W ใดๆของย่านแปรเปลี่ยนด้านคอลเล็กเตอร์ จะได้

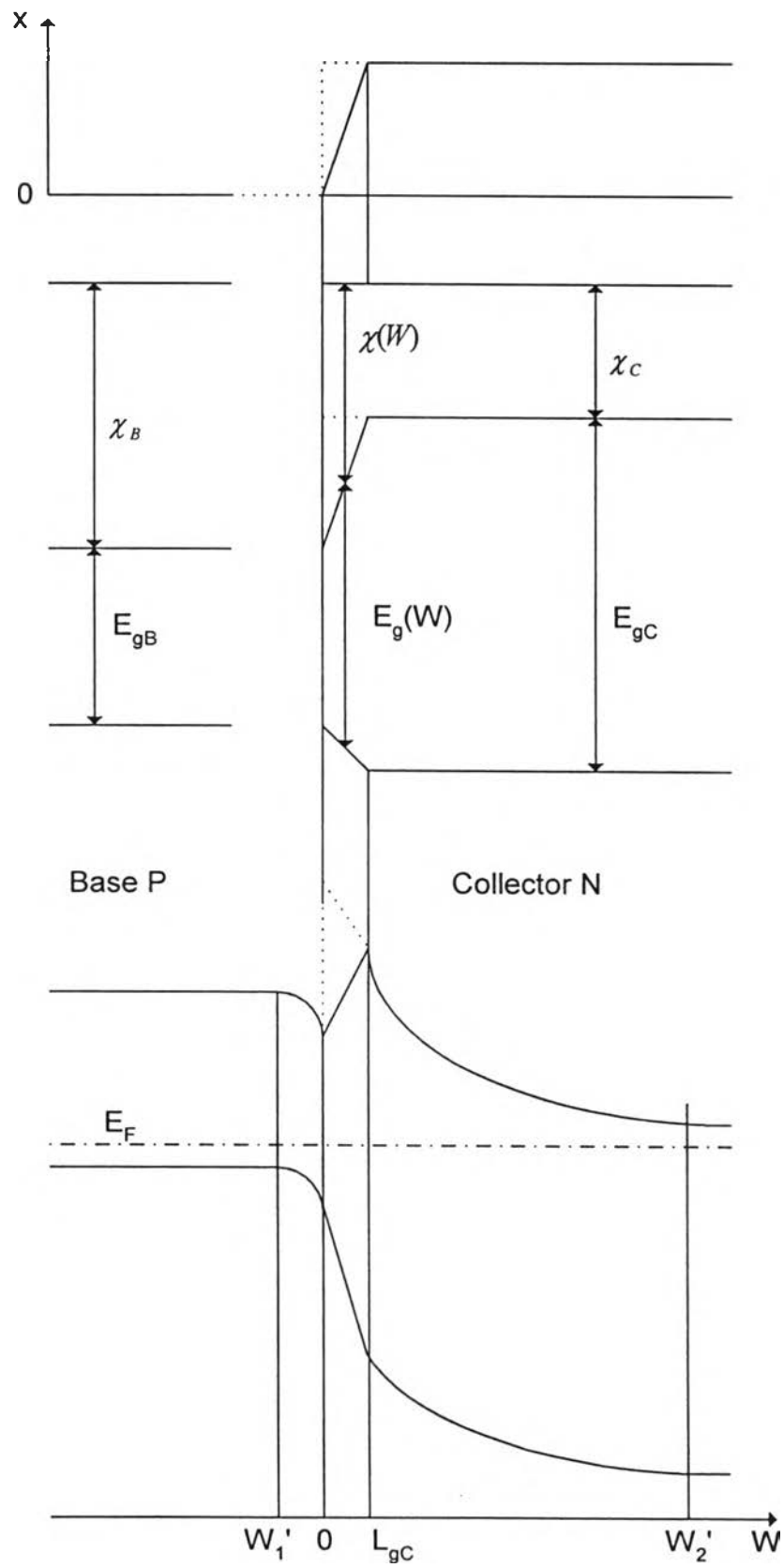
$$\ln\left(\frac{p(W)}{N_V(W)}\right) = - \left[\frac{V(W)}{U_T} + \frac{k_{BC}(V_{DC} - V_{BC})}{U_T} + \frac{\Delta E_g(W) - \Delta\chi(W)}{U_T} \right] + \ln\left(\frac{P_B}{N_{VB}}\right) \quad (2-44)$$

โดยที่ $\Delta E_g(W) = E_g(W) - E_{gB}$

และ $\Delta\chi(W) = \chi_B - \chi(W)$ (2-45)

โดยใช้สมการ (2-33) และ (2-7) ของแรงดันแพร่ซึม V_{DC} และความหนาแน่นพาหะ n_i ตามลำดับจะได้สมการ $p(W)$ ในช่วง $0 < W < L_{gC}$

$$p(W) = \frac{N_{CC}}{N_{DC}} \exp\left(\frac{k_C V_{DC}}{U_T}\right) \exp\left(\frac{k_{BC} V_{BC}}{U_T}\right) \frac{n_i^2(W)}{N_C(W)} \exp\left[- \frac{V(W)}{U_T} + \frac{\chi_C - \chi(W)}{U_T}\right] \quad (2-46)$$



รูปที่ 2.4 แผนภาพแถบพลังงานต่อห้ามบริเวณหัวต่อ เบส คอลเล็กเตอร์

และในช่วง $L_{gc} < W < W_2'$

$$p(W) = \exp\left(\frac{k_C V_{DC}}{U_T}\right) \exp\left(\frac{k_{BC} V_{BC}}{U_T}\right) \frac{n_{ic}^2}{N_{DC}} \exp\left[-\frac{V(W)}{U_T}\right] \quad (2-47)$$

ดังนั้นสมการ (2-43) $1/J_4$ สามารถเขียนได้เป็น

$$\frac{1}{J_4} = -\exp\left(\frac{-V_{BE}}{U_T}\right) \left[\int_{J_1}^{L_{gc}} \frac{p(W)}{qn_{ic}^2 D_{nC}} + \int_{L_{gc}}^{W_2'} \frac{p(W)}{qn_{ic}^2 D_{nC}} \right] \quad (2-48)$$

โดยให้ศักดาไฟฟ้าที่หัวต่อ $V(W)$ อยู่ในรูปของสมการ (2-37) (เชิงเส้น) เราสามารถเขียน J_4 อยู่ในรูปแบบ

$$(J_4) \text{ ในกรณี Graded junction} = (J_4) \text{ ในกรณี Abrupt junction} \times \eta_C \quad (2-49)$$

โดย η_C จะเป็นแฟคเตอร์ ซึ่งมีค่าตามสมการ

$$\frac{1}{\eta_C} = \frac{1}{\frac{\chi_B - \chi_C}{L_{gc}} \sqrt{\frac{n_C \epsilon_C}{2qN_{DC}(V_{DC} - V_{BC})}} - 1} \times \left[\exp\left(-\frac{L_{gc}}{U_T} \cdot \sqrt{\frac{2qN_{DC}(V_{DC} - V_{BC})}{n_C \epsilon_C}}\right) - \exp\left(\frac{\chi_C - \chi_B}{U_T}\right) \right] \quad (2-50)$$

$$+ \left[\exp\left(-\frac{L_{gc}}{U_T} \cdot \sqrt{\frac{2qN_{DC}(V_{DC} - V_{BC})}{n_C \epsilon_C}}\right) - \exp\left(\frac{(V_{DC} - V_{BC})}{n_C U_T}\right) \right]$$

ทำนองเดียวกันเราสามารถแสดงให้เห็นว่า

$$(J_3) \text{ ในกรณี Graded junction} = (J_3) \text{ ในกรณี Abrupt junction} \times \eta_E \quad (2-51)$$

โดย η_E จะเป็นแฟคเตอร์ ซึ่งมีค่าตามสมการ

$$\frac{1}{\eta_E} = \frac{1}{\frac{\chi_B - \chi_E}{L_{gE}} \sqrt{\frac{n_E \epsilon_E}{2qN_{DE}(V_{DE} - V_{BE})}} - 1} \times \left[\exp\left(-\frac{L_{gE}}{U_T} \cdot \sqrt{\frac{2qN_{DE}(V_{DE} - V_{BE})}{n_E \epsilon_E}}\right) - \exp\left(\frac{\chi_E - \chi_B}{U_T}\right) \right] \quad (2-52)$$

$$+ \left[\exp\left(-\frac{L_{gE}}{U_T} \cdot \sqrt{\frac{2qN_{DE}(V_{DE} - V_{BE})}{n_E \epsilon_E}}\right) - \exp\left(\frac{(V_{DE} - V_{BE})}{n_E U_T}\right) \right]$$

ในทางปฏิบัติ η_E และ η_C จะขึ้นกับค่า L_{gE} และ L_{gc} โดยมีค่าเป็น 1 (สำหรับ L_{gE} และ $L_{gc}=0$) จนถึงค่าสูงมากๆ ประมาณ 10^5

ในกรณีหลังนี้ J_3 แบบลาด และ J_4 แบบลาดจะมีค่าใหญ่มาก ซึ่งแสดงให้เห็นว่า "Spike" ไม่

มีบทบาทใดๆ กล่าวคือ $\frac{1}{J_3} \ll \frac{1}{J_1}$ และ $\frac{1}{J_4} \ll \frac{1}{J_1}$

รูปที่ 2.5 แสดงการเปลี่ยนแปลงของ η_E และ η_C กับแรงดันที่หัวต่อ V_{BE} และ V_{BC} ที่ L_{gE} และ L_{gC} ค่าต่างๆ ส่วนรูปที่ 2.6 แสดงลักษณะสมบัติ (J_C, V_{BE}) ทั้งที่ได้จากสมการ (2-1) และ (2-2) โดยตรง เปรียบเทียบกับวิธีวิเคราะห์ที่ผ่านมา ซึ่งจะเห็นว่าสอดคล้องกันอย่างดี

2.1.2 อัตราขยายกระแส (Current gain)

อัตราขยายกระแสอินทรีนซิกของไบโพลาร์ทรานซิสเตอร์ พิจารณาจากภายใต้เงื่อนไขที่ยังไม่คิดการรวมตัวของพาหะในเขตปลอดพาหะของหัวต่อ ซึ่งสามารถแสดงอยู่ในรูปแบบของสมการ

$$\frac{1}{h_{FE}^*} = \frac{1}{\gamma} + \frac{1}{\delta} \quad (2-53)$$

โดยที่ γ และ δ คือประสิทธิภาพในการฉีดพาหะที่หัวต่ออิมิตเตอร์-เบส และแฟกเตอร์การขนถ่ายพาหะในเบส ตามลำดับ

ประสิทธิภาพในการฉีด γ คือ อัตราส่วนระหว่างกระแสคอลเล็กเตอร์ J_n ที่ถูกฉีดจากอิมิตเตอร์เข้าสู่เบสต่อกระแสโฮลที่ฉีดจากเบสเข้าสู่อิมิตเตอร์เหมือนกับกรณิทรานซิสเตอร์หัวต่อต่างชนิดเดี่ยว กระแสแพร่ซึมของโฮลในอิมิตเตอร์เขียนได้เป็น

$$J_p = \frac{\exp\left(\frac{V_{BE}}{U_T}\right)}{v_E} \quad (2-54)$$

$$\text{โดยที่ } v_E = \int_{W_2}^E \frac{n}{qn_{IE}^2 D_{nE}} dW \quad (2-55)$$

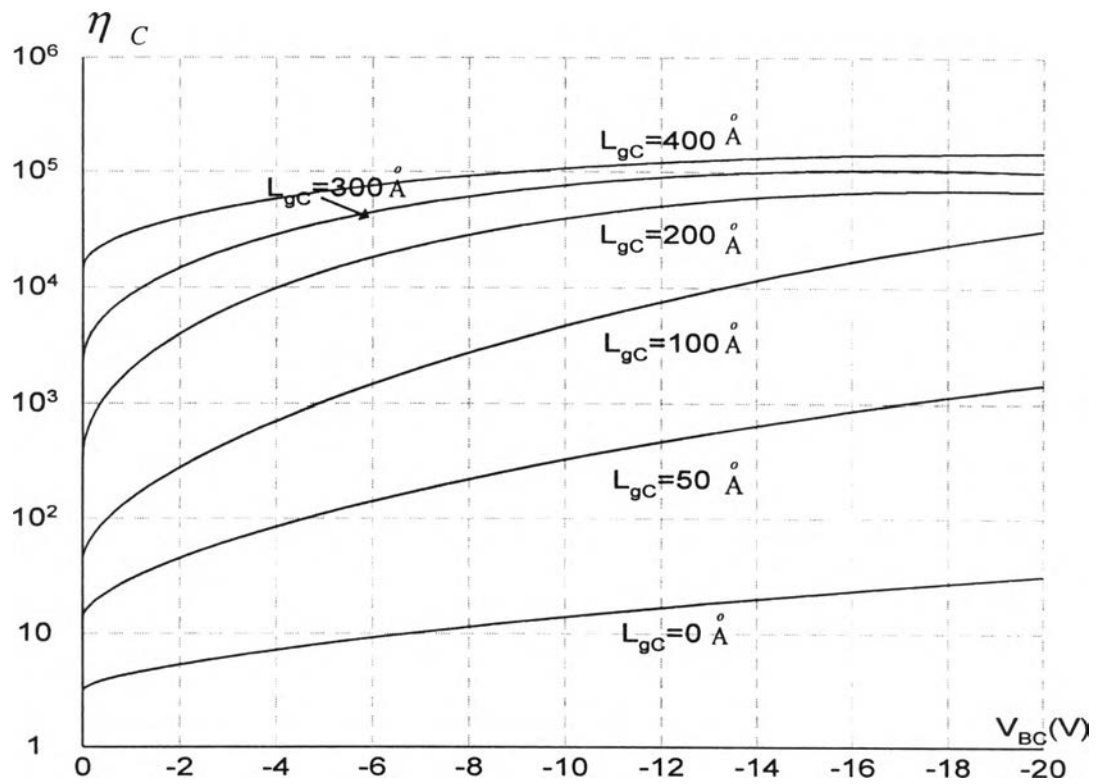
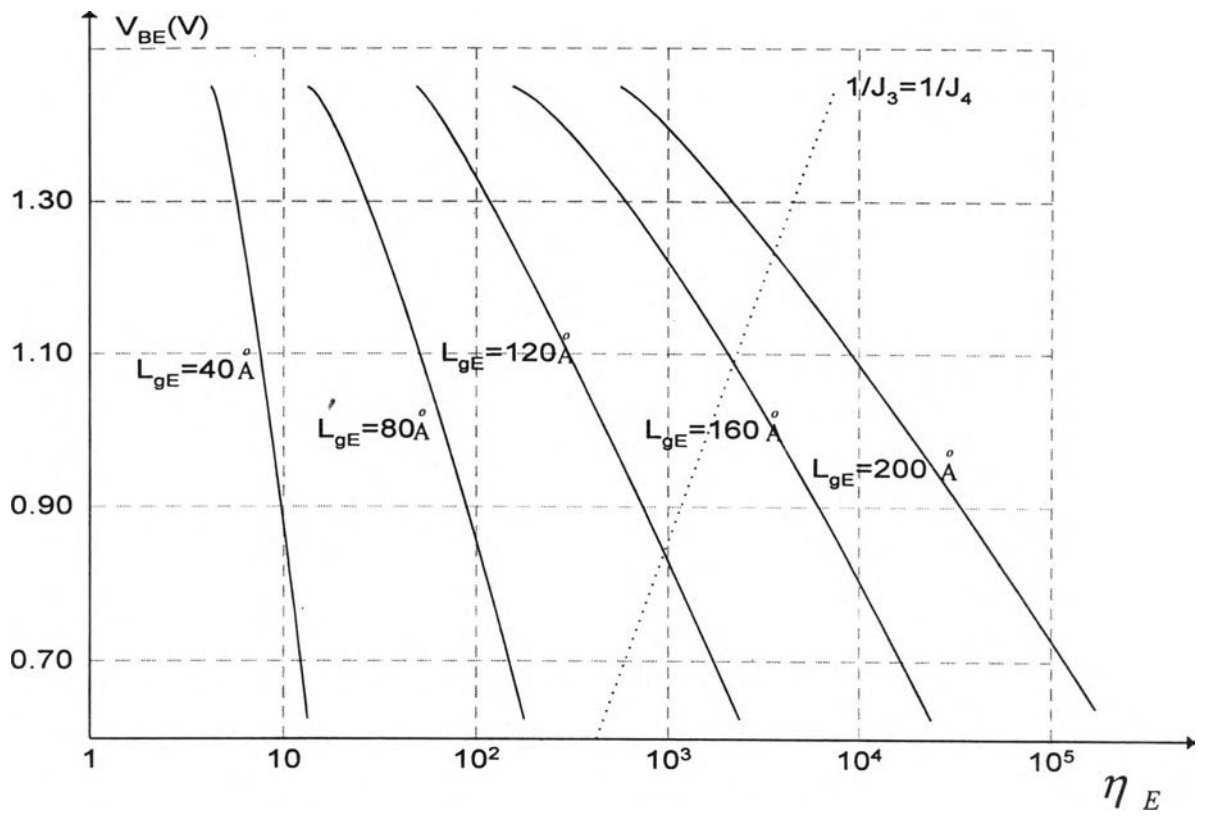
ดังนั้นประสิทธิภาพในการฉีด จึงเขียนได้เป็น

$$\gamma = \frac{v_E}{\pi_B + \pi_{SB} + \pi_{TE} + \pi_{TC}} \quad (2-56)$$

สำหรับค่าแฟกเตอร์ของการขนถ่ายพาหะซึ่งนิยามเป็นอัตราส่วนระหว่างกระแสอิเล็กตรอนที่ไปถึง คอลเล็กเตอร์ได้ต่อกระแสรวมตัวในเบส (J_{RV}):

$$\delta = \frac{J_C}{J_{RV}} \quad (2-57)$$

J_{RV} อธิบายด้วยประจุไฟฟ้าส่วนเกินในย่านเบสที่เป็นกลาง Q_{SB} และค่าชีวิตพาหะอิเล็กตรอน τ_{nB} ในเบส ตามความสัมพันธ์



รูปที่ 2.5 แสดงการเปลี่ยนแปลงค่า η_E และ η_C กับแรงดันที่หัวต่อ V_{BE} และ V_{BC} ที่ L_{gE} และ L_{gC} ค่าต่างๆกัน ตามลำดับ

$$J_{RV} = \frac{Q_{SB}}{\tau_{nB}} \quad (2-58)$$

ในกรณีของทรานซิสเตอร์หัวต่อต่างชนิดคู่ "Spike" ณ บริเวณคอลเล็กเตอร์เป็นสาเหตุให้มีการเพิ่มขึ้นของพาหะข้างน้อยบริเวณหัวต่อเบส-คอลเล็กเตอร์ ผลก็คือ มีการเพิ่มพาหะส่วนเกินในเบส (รูปที่ 2.7)

กระแสพาหะข้างน้อยอิเล็กตรอนในย่านเบสเป็นกลางซึ่งมีขนาดแคบ และมีสารเจือปนที่ต้องเป็นกระแสแพร่ซึมแน่นนอน และการรวมตัวที่เกิดขึ้นในย่านนี้ถือว่าเล็กน้อยตัดทิ้งได้ โดยเฉพาะอย่างยิ่งเราสามารถอนุมานได้ว่าค่ากระแสอิเล็กตรอนมีค่าไม่ขึ้นกับตำแหน่ง W กล่าวคือ การกระจายพาหะข้างน้อยในเบสเป็นฟังก์ชันเชิงเส้นกับ W จึงเขียนค่าประจุไฟฟ้าสะสม Q_{SB} ได้ว่า:

$$Q_{SB} = \frac{q}{2} \cdot (\hat{n}_{BE} + \hat{n}_{BC}) W_B \quad (2-59)$$

โดย \hat{n}_{BE} และ \hat{n}_{BC} คือค่าความหนาแน่นพาหะส่วนเกินในเบส ณ ขอบ J และ J' ของย่านอิมิตเตอร์และ คอลเล็กเตอร์ ตามลำดับ

จากสมการกระแสแพร่ซึม $J_C = qD_{nB} \frac{\partial \hat{n}}{\partial W} \quad (2-60 \text{ ก})$

จะได้ $J_C = qD_{nB} \frac{\hat{n}_{BE} - \hat{n}_{BC}}{W_B} \quad (2-60 \text{ ข})$

ดังนั้น $\hat{n}_{BC} = \hat{n}_{BE} - \frac{J_C W_B}{qD_{nB}} \quad (2-60)$

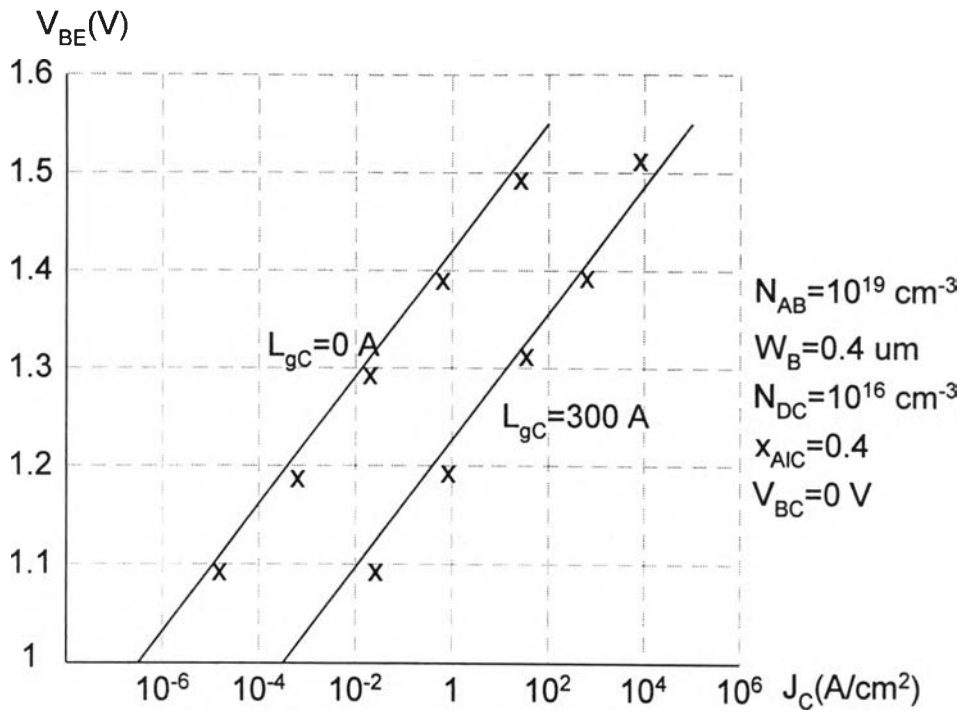
พื้นฐานการคำนวณค่า \hat{n}_{BE} จะเหมือนกับการหาค่า J_C กล่าวคือโดยการอินทิเกรตความสัมพันธ์ (2-8) ระหว่างผิวคอลเล็กเตอร์ C ถึงหัวต่ออิมิตเตอร์-เบส J , จะได้

$$\left(\frac{pn}{n_i^2} \right)_J - 1 = \int_C^J \frac{p}{n_i^2} \frac{J_n}{qD_n} dW - \int_C^J \frac{n}{n_i^2} \frac{J_p}{qD_p} dW \quad (2-61)$$

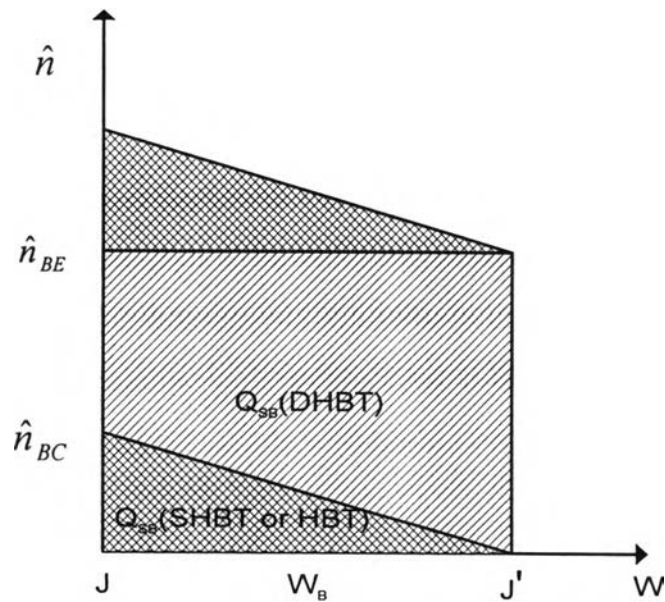
และจากการพิจารณาอาศัยสมการ (2-13), (2-18) และ (2-19) จะได้

$$\left(\frac{pn}{n_i^2} \right) = J_C \left(\int_{W_2}^{J'} \frac{p}{qn_{iC}^2 D_{nC}} dW + \int_{J'}^J \frac{p}{qn_{iB}^2 D_{nB}} dW \right) + 1 \quad (2-62)$$

ซึ่งก็คือ $\left(\frac{pn}{n_i^2} \right)_J = J_C (\pi_B + \pi_{TC}) + 1 \quad (2-63)$



รูปที่ 2.6 สัมพันธสมบัติ J_C , V_{BE} ที่ได้จากสมการ (2-1) และ (2-2) โดยตรง (x) เปรียบเทียบกับที่ได้วิเคราะห์ (-)



รูปที่ 2.7 พาหะส่วนเกินในเบส

ที่หัวต่ออิมิตเตอร์-เบส $p=N_{AB}$ ดังนั้น ความหนาแน่นอิเล็กตรอนจะเขียนได้เป็น

$$n_{BE} = \frac{n_{iB}^2}{N_{AB}} \cdot ((\pi_B + \pi_{TC})J_C + 1) \quad (2-64)$$

ดังนั้นที่ทราบ ความหนาแน่นอิเล็กตรอนในสถานะสมดุล $\bar{n}_{BE} = \frac{n_{iB}^2}{N_{AB}}$ ดังนั้น ความหนาแน่นของพาหะส่วนเกิน จะเป็น

$$\bar{n}_{BE} = \frac{n_{iB}^2}{N_{AB}} \cdot (\pi_B + \pi_{TC})J_C \quad (2-65)$$

และประจุไฟฟ้าสะสมในเบสสามารถเขียนได้ว่า

$$Q_{SB} = \frac{qn_{iB}^2}{N_{AB}} \cdot (\pi_B + \pi_{TC})W_B J_C - \frac{W_B^2}{2D_{nB}} J_C \quad (2-66)$$

ช่วงเวลาของพาหะเคลื่อนที่ผ่านเบส τ_B ซึ่งกำหนดจากอัตราส่วน $\tau_B = Q_{SB}/J_C$ ดังนั้น

$$\tau_B = \frac{qn_{iB}^2}{N_{AB}} \cdot (\pi_B + \pi_{TC})W_B - \frac{W_B^2}{2D_{nB}} \quad (2-67)$$

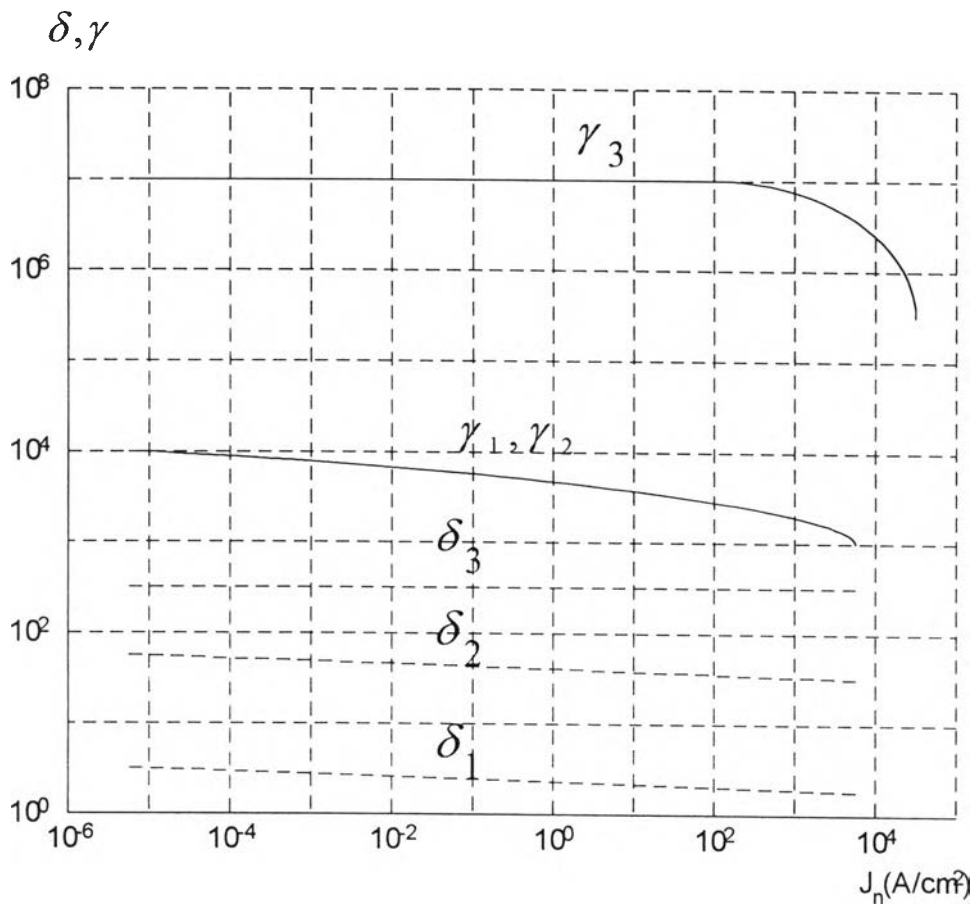
และแฟคเตอร์การขนถ่ายพาหะ แสดงโดยสมการ

$$\delta = \frac{\tau_{nB}}{\tau_B} = \frac{\tau_{nB}}{\frac{qn_{iB}^2}{N_{AB}} \cdot (\pi_B + \pi_{TC})W_B - \frac{W_B^2}{2D_{nB}}} \quad (2-68)$$

ผลกระทบจาก "Spike" อันเนื่องมาจากหัวต่อต่างชนิดแบบชั้นของหัวต่อคอลเล็กเตอร์-เบส พิจารณาได้จากเทอม π_{TC} ที่ปรากฏในสมการ ซึ่งจะทำให้ช่วงเวลาในการขนถ่ายพาหะข้ามเบสยาวขึ้น แฟคเตอร์การขนถ่ายพาหะลดลง จึงมีความจำเป็นที่จะลดผลกระทบจาก "Spike" ที่หัวต่อคอลเล็กเตอร์-เบส โดยใช้หัวต่อต่างชนิดแบบลาด จึงทำให้สมการแฟคเตอร์การขนถ่ายพาหะ กลายเป็น

$$\delta = \frac{\tau_{nB}}{\tau_B} = \frac{\tau_{nB}}{\frac{qn_{iB}^2}{N_{AB}} \cdot \left(\pi_B + \frac{\pi_{TC}}{\eta_C} \right) W_B - \frac{W_B^2}{2D_{nB}}} \quad (2-69)$$

การเปลี่ยนแปลงค่าประสิทธิภาพในการฉีด γ และแฟคเตอร์ในการขนถ่ายพาหะ δ กับค่ากระแสอิเล็กตรอนในกรณีหัวต่อต่างชนิดแบบลาด แสดงไว้ในรูปที่ 2.8 จะเห็นว่าถ้าความลาดของหัวต่อคอลเล็กเตอร์อยู่ระหว่าง 100 Å ถึง 500 Å ประสิทธิภาพในการฉีดพาหะจะมีค่าเหนือกว่า



$$1) L_{gE} = L_{gC} \text{ \AA}$$

$$2) L_{gE} = 100 \text{ \AA}, L_{gC} = 500 \text{ \AA}$$

$$3) L_{gE} = 500 \text{ \AA}, L_{gC} = 200 \text{ \AA}$$

รูปที่ 2.8 ผลของความลาดเอียงที่มีต่อประสิทธิภาพในการฉีด และแฟกเตอร์การขนถ่าย
พาหะ

แฟลคเตอร์การชนถ่ายพาหะ ผลก็คือ (ตามสมการ 1-53) อัตราขยายกระแส h_{FE}^* จะเท่ากับ δ $\left(\frac{1}{h_{FE}^*} = \frac{1}{\delta}\right)$ หรืออีกมุมมองหนึ่งก็คือความลาดเอียงของหัวต่อเพิ่มขึ้น δ เพิ่มขึ้น ผล h_{FE}^* เพิ่มขึ้น ซึ่งบ่งบอกถึงบทบาทของ "Spike" หัวต่อคอลเล็กเตอร์-เบส ต่อการทำงานของทรานซิสเตอร์หัวต่อต่างชนิดคู่

2.2 พารามิเตอร์ที่มีผลต่อการทำงานของทรานซิสเตอร์หัวต่อต่างชนิดสองหัวต่อ

สำหรับตอนนี้เราจะนำโมเดลที่เราได้นำเสนอในตอนที่แล้วมาวิเคราะห์หาผลของลักษณะสมบัติหลักๆ ทั้งทางด้านเทคโนโลยีและไฟฟ้า ซึ่งควบคุมการทำงานของทรานซิสเตอร์ โดยขั้นแรกเราจะคำนวณลักษณะสมบัติกระแสแรงดัน และอัตราขยายกระแส โดยเลือกค่าพารามิเตอร์ต่างๆที่เกี่ยวข้องซึ่งแสดงในตารางที่ 2.1 เป็นค่าตัวอย่างของพารามิเตอร์ดังกล่าว ซึ่งพารามิเตอร์ต่างๆที่ใช้ได้เลือกสรรค่าที่ทำให้บทบาทของ "Spike" ที่หัวต่ออิมิตเตอร์-เบส สามารถละเลยได้ กล่าวคือ ($J_3 \gg J_1$)

x_{AIE}	N_{DE}	W_E	L_{gE}	N_{AB}	W_B	x_{AIC}	N_{DC}	L_{gC}	V_{BC}
0.4	10^{17} cm^{-3}	$1 \mu\text{m}$	500 \AA	10^{19} cm^{-3}	$0.4 \mu\text{m}$	0.3	10^{16} cm^{-3}	100 \AA	-5 V

ตารางที่ 2.1 พารามิเตอร์ต่างๆของทรานซิสเตอร์พร้อมค่าตัวอย่าง

เพื่อศึกษาผลกระทบอันเนื่องมาจากพารามิเตอร์ต่างๆที่มีต่อตำแหน่งและขนาดของ "Spike" ในย่านคอลเล็กเตอร์ จึงทำการแปรค่าพารามิเตอร์ต่างๆทีละค่าโดยใช้พารามิเตอร์อื่นๆคงที่ พารามิเตอร์ที่ทำการศึกษามีค่าสารเจือในชั้นเบสและคอลเล็กเตอร์ ปริมาณอุมิเนียมของคอลเล็กเตอร์ ความลาดเอียงของหัวต่อ และแรงดันที่จ่ายให้หัวต่อเบส-คอลเล็กเตอร์

2.2.1 ผลของปริมาณอุมิเนียมในชั้นคอลเล็กเตอร์

ถ้าเราพิจารณาลักษณะสมบัติกระแสแรงดัน (J_C , V_{BE}) สำหรับปริมาณอุมิเนียมแปรค่าระหว่าง $x_{AIC} = 0$ ถึง $x_{AIC} = 0.4$ เราสรุปจากรูปที่ 2.9(ก) ว่า กระแส J_C จะถูกกำหนดด้วยกระแส J_4 เมื่อ x_{AIC} มีค่า ≥ 0.2 สรุปได้ว่าในกรณีนี้ "Spike" ของหัวต่อต่างชนิดคอลเล็กเตอร์-เบส มีบทบาทอย่างสำคัญ เนื่องจากเทอม π_{TC} ซึ่งสัมพันธ์อยู่กับ "Spike" มีค่ามากกว่า π_B ($\pi_{TC} > \pi_B$ ทำให้ $J_4 < J_1$)

ในทางตรงกันข้ามเมื่อปริมาณอุมิเนียม $x_{AIC} < 0.2$ J_4 จะมีค่าสูงกว่า J_1 ดังนั้น J_1 จะเป็นตัวกำหนดค่า J_C นั่นก็คือหัวต่อคอลเล็กเตอร์-เบส ไม่มีบทบาทใดๆเหนือลักษณะสมบัติ (J_C, V_{BE}) , ($\pi_{TC} < \pi_B$)

ในส่วนของอัตราขยายกระแสอินทรีนซิก h_{FE}^* (รูปที่ 2.9(ข)) จะขึ้นกับแฟคเตอร์การขนถ่ายพาหะ δ (γ มักจะมีค่าต่ำกว่า δ เสมอ ดูรูปที่ 2.8) สำหรับปริมาณอุมิเนียม $x_{AIC} < 0.2$ "Spike" ที่หัวต่อคอลเล็กเตอร์-เบส จะไม่เข้ามายุ่งเกี่ยวและแฟคเตอร์ของการขนถ่ายพาหะ จะเท่ากับของทรานซิสเตอร์หัวต่อเหมือน (Homojunction) หรือ ของ SHBT กล่าวคือ

$$\delta = \frac{\tau_{nB}}{\tau_B} \quad \text{โดย } \tau_B = \frac{W_B^2}{2D_{nB}} \quad (2-70)$$

เมื่อปริมาณอุมิเนียม $x_{AIC} \geq 0.2$ เทอม π_{TC} จะเด่นขึ้น ทำให้เวลาในการขนถ่ายพาหะในเบสเพิ่มขึ้น (ตามสมการ 1-67) ดังนั้น เทอมแฟคเตอร์การขนถ่ายพาหะ δ และอัตราขยายกระแสอินทรีนซิก h_{FE}^* จะลดลง ตามความสัมพันธ์ (2-68) และ (2-53)

คำอธิบายเกี่ยวกับเรื่องนี้จะพิจารณาได้จากรูปที่ 2.9(ค) ซึ่งความสูงของกำแพง B ซึ่งนิยามด้วย "Spike" มีขนาดลดลงเมื่อปริมาณอุมิเนียมในคอลเล็กเตอร์ลดลง

2.2.2 ผลที่เกิดจากความลาดของหัวต่อต่างชนิดคอลเล็กเตอร์-เบส

จากการวิเคราะห์ลักษณะสมบัติ J_C, V_{BE} ในรูปที่ 2.10(ก) จุดที่ความลาดของหัวต่อ $L_E \approx 200 \text{ \AA}$ ค่า $J_1 \approx J_C$ แต่เมื่อ $L_E < 200 \text{ \AA}$ $J_C < J_1$ ที่ V_{BE} ค่าเดียวกัน ทั้งนี้เนื่องจาก เมื่อ $L_E < 200 \text{ \AA}$ เทอม η_C จะน้อย (รูปที่ 2.5) ค่ากระแสคอลเล็กเตอร์ J_C จะถูกควบคุมด้วย "Spike" ที่หัวต่อคอลเล็กเตอร์-เบส ($J_C \approx J_4$) ในขณะที่เดียวกันสมการ (2-69) แสดงให้เห็นว่าถ้า η_C มีค่าต่ำ $\frac{\pi_{TC}}{\eta_C}$ จะมีค่าสูงขึ้น แฟคเตอร์การขนถ่ายพาหะ δ ถูกเปลี่ยนแปลง ดังจะเห็นได้จากการลดลงของอัตราขยายกระแส

ในลักษณะตรงกันข้าม ถ้าความลาดของหัวต่อต่างชนิดเบส-คอลเล็กเตอร์มากขึ้น ($L_E > 200 \text{ \AA}$) กระแส J_4 จะมีค่าสูงมาก ซึ่งแสดงให้เห็นว่า "Spike" ตรงหัวต่อไม่มีบทบาทใดๆต่อพฤติกรรมของทรานซิสเตอร์ ผล $J_1 \ll J_4$ ณ จุดนี้ค่าแฟคเตอร์การขนถ่ายพาหะจะมีค่าเท่ากับของทรานซิสเตอร์หัวต่อต่างชนิดเดี่ยว ดังสมการ (2-70)

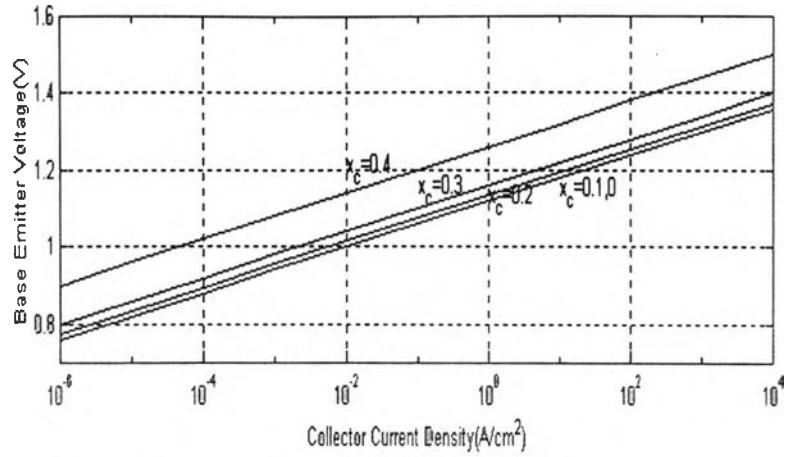
รูปที่ 2.10(ค) แสดงการเปลี่ยนแปลงความสูงของกำแพงพลังงาน B ที่หัวต่อคอลเล็กเตอร์-เบส เมื่อความลาดต่างกัน

2.2.3 ผลกระทบจากปริมาณสารเจือปนในชั้นคอลเล็กเตอร์ N_{DC}

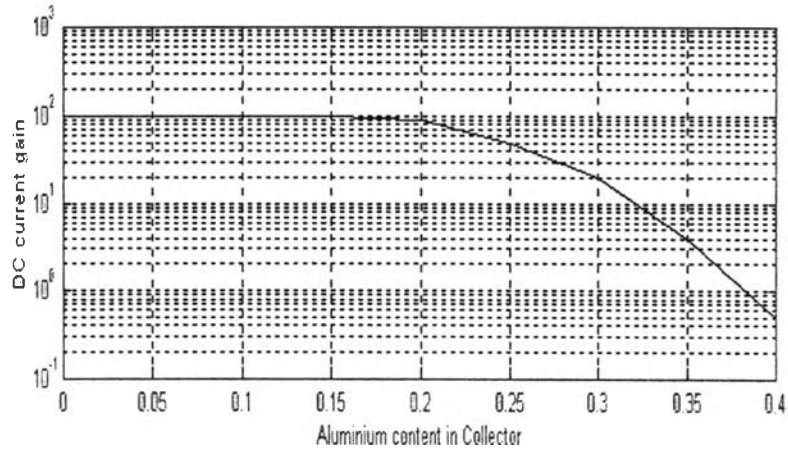
ผลกระทบจากการแปรค่าสารเจือปนในคอลเล็กเตอร์ต่อลักษณะสมบัติกระแส-แรงดัน และอัตราขยายกระแส แสดงไว้ในรูปที่ 2.11(ก) และ (ข) ตามลำดับ ในกรณีนี้ จะเกิดการปรับระยะทางของข่านแปรเปลี่ยนในแต่ละข้างของหัวต่อคอลเล็กเตอร์-เบส ความสูงของ "Spike" ลดลง และตำแหน่งของ "Spike" จะมีการเลื่อนไปในลักษณะที่ทำให้ผลกระทบต่อลักษณะสมบัติลดลง และมีแนวโน้มจะหายไป (Disappear) เมื่อปริมาณสารเจือปนมากขึ้น (ดูรูป 2.11(ค))

2.2.4 ผลกระทบจากแรงดันคอลเล็กเตอร์-เบส V_{BC}

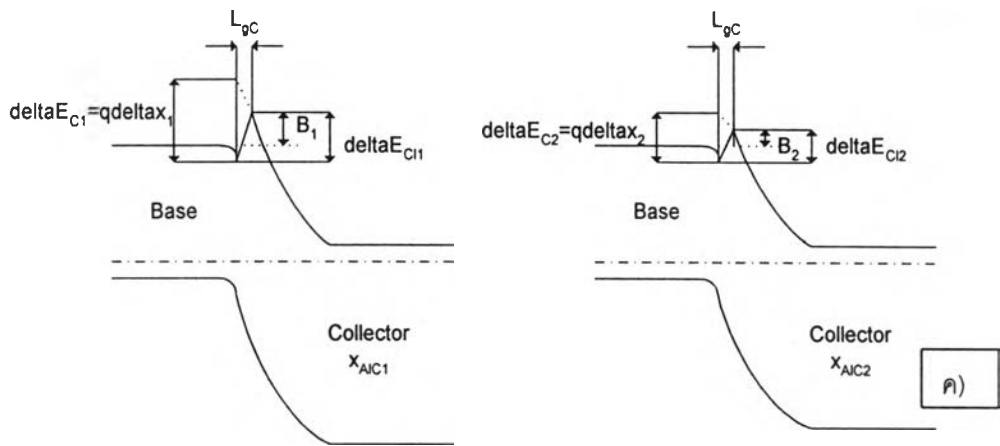
จากลักษณะสมบัติกระแส-แรงดัน และแฟกเตอร์การขนถ่ายพาหะที่มีการเปลี่ยนแปลง เมื่อถูกขับเคลื่อนด้วยแรงดัน V_{BC} ค่าต่างๆดังนี้ (รูปที่ 2.12(ก) และ (ข)) ซึ่งให้เห็นว่าอิทธิพลของ "Spike" คอลเล็กเตอร์-เบสน้อย เมื่อแรงดัน V_{BC} สูงขึ้น ในกรณีนี้ ทอม π_{TC} (สมการ 2-29) จะมีค่าลดลง มีข้อสังเกตว่าการเปลี่ยนแปลงนี้ไม่ได้มาจากการเปลี่ยนแปลงของความสูงของกำแพงพาหะ (อย่างน้อย ตรงไปที่หัวต่อเบส-คอลเล็กเตอร์ คือ $P^{++}N$) แต่ขึ้นกับความกว้าง



ก)



ข)

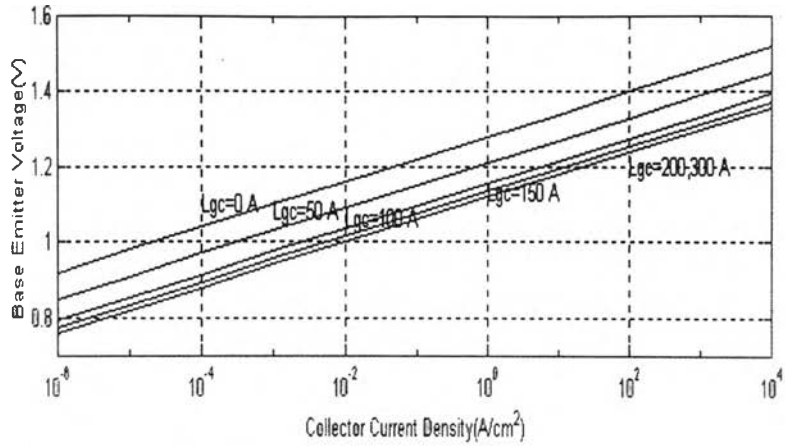


ค)

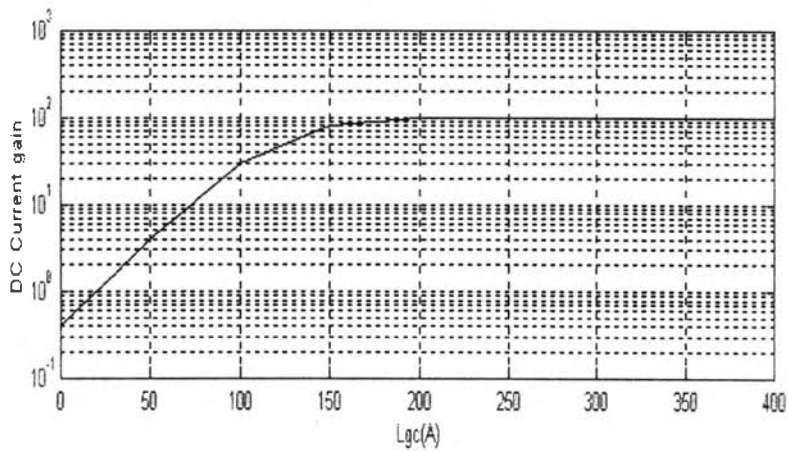
$$\begin{aligned}
 &x_{AIC1} > x_{AIC2} \\
 &\Delta E_{C1} > \Delta E_{C2} \\
 &\Delta E_{C1} > \Delta E_{C2} \\
 &B_1 > B_2
 \end{aligned}$$

รูปที่ 2.9 ผลของปริมาณอลูมิเนียม x_{AIC} ในชั้นคอลเล็กเตอร์ ต่อ

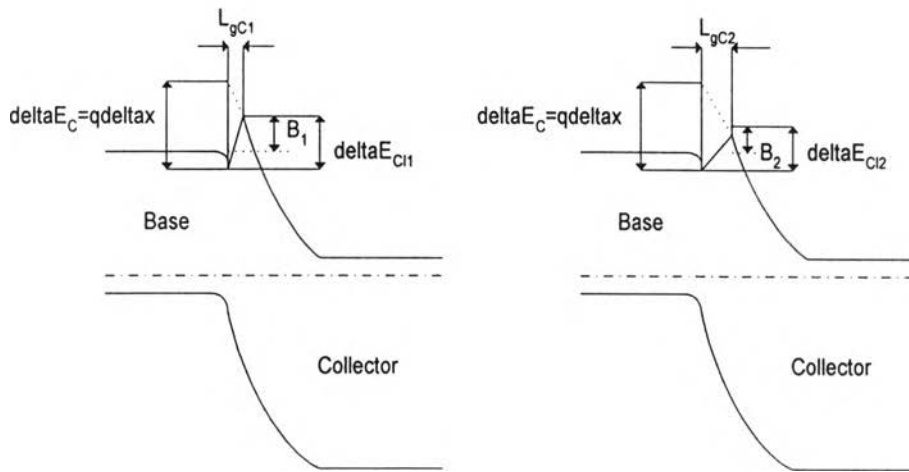
- ก) ลักษณะสมบัติกระแสแรงดัน J_C, V_{BE}
- ข) อัตราขยายกระแสอินทรีนซิก h_{FE}
- ค) แผนภาพแถบพลังงานบริเวณหัวต่อเบส-คอลเล็กเตอร์



ก)



ข)



ค)

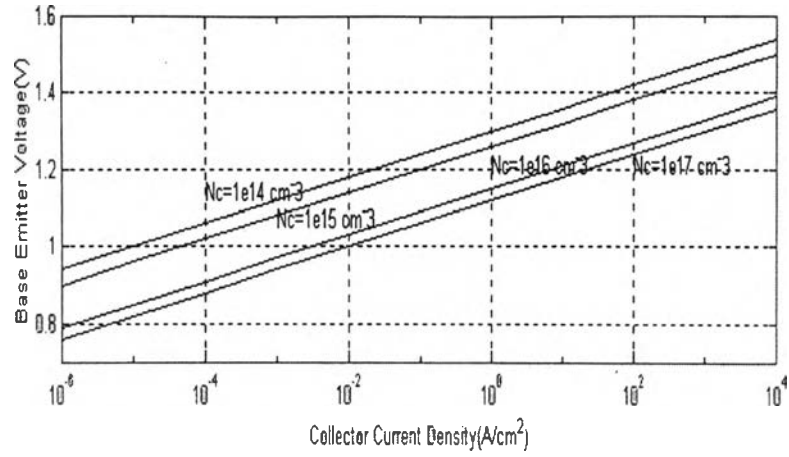
$$L_{gc1} > L_{gc2}$$

$$\Delta E_{C1} > \Delta E_{C2}$$

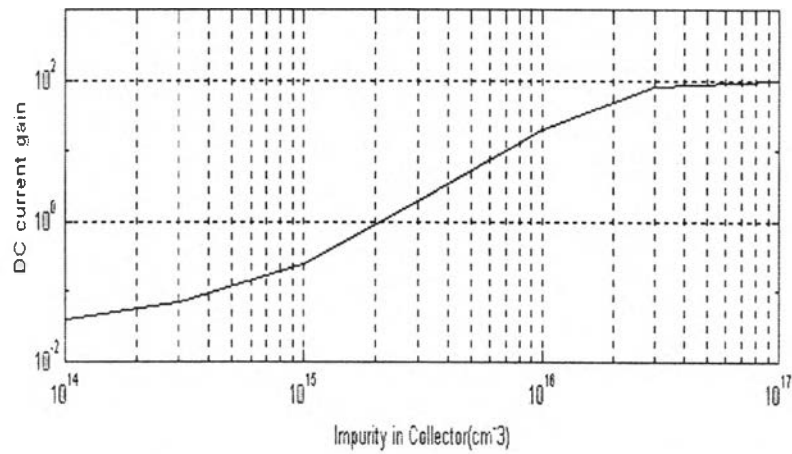
$$B_1 > B_2$$

รูปที่ 2.10 ผลของความลาด L_{gc} ของหัวต่อคอลเล็กเตอร์-เบส ต่อ

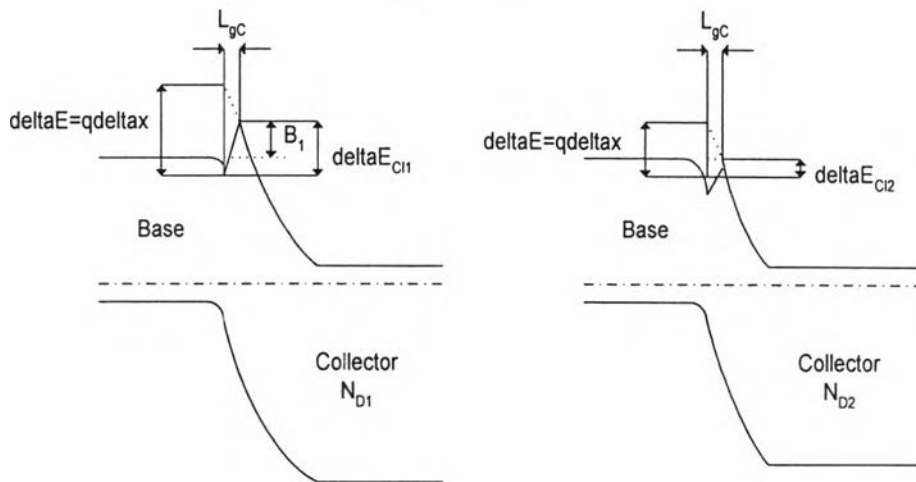
- ก) ลักษณะสมบัติกระแสแรงดัน J_C, V_{BE}
- ข) อัตราขยายกระแสอินทรีนซิก h_{FE}^*
- ค) แผนภาพแถบพลังงานบริเวณหัวต่อเบส-คอลเล็กเตอร์



ก)



ข)



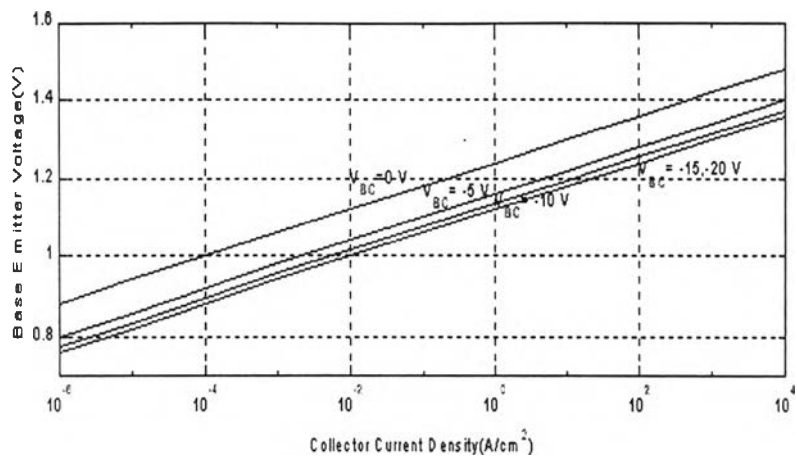
ค)

$$N_{D1} < N_{D2}$$

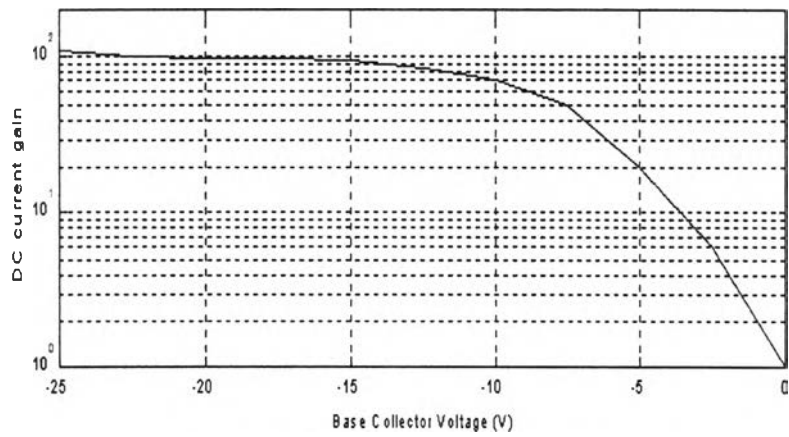
$$\Delta E_{C11} > \Delta E_{C12}$$

รูปที่ 2.11 ผลกระทบจากสารเจือในชั้นคอลเล็กเตอร์ N_{DC} ต่อ

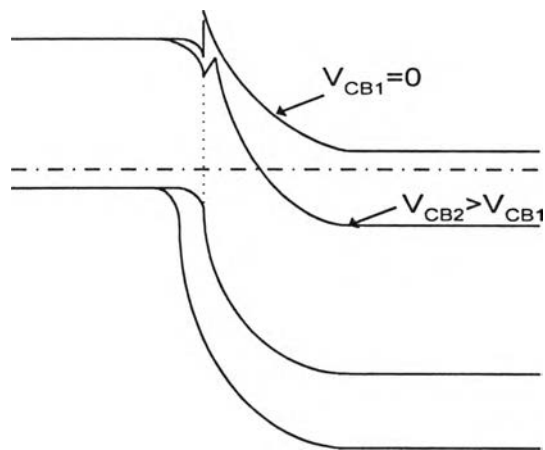
- ก) ลักษณะสมบัติกระแสแรงดัน J_C, V_{BE}
- ข) อัตราขยายกระแสอินทรีนซิก h_{FE}^*
- ค) แผนภาพแถบพลังงานบริเวณหัวต่อเบส-คอลเล็กเตอร์



ก)



ข)



ค)

รูปที่ 2.12 ผลกระทบจากแรงดันคอลเล็กเตอร์-เบส ต่อ

- ก) ลักษณะสมบัติกระแสแรงดัน J_C, V_{BE}
- ข) อัตราขยายกระแสอินทรีนซิก h_{FE}^*
- ค) แผนภาพแถบพลังงานบริเวณหัวต่อเบส-คอลเล็กเตอร์